

01

©1994

НЕКОТОРЫЕ ПРОБЛЕМЫ БЕЗОПАСНОСТИ ХРАНЕНИЯ ТВЕРДОГО АНТИВОДОРОДА

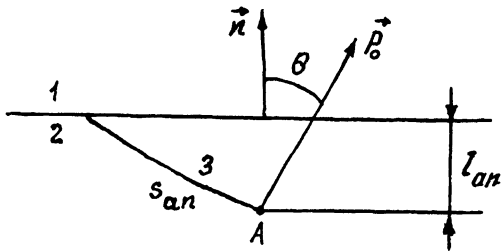
М.Л.Шматов

Длительное хранение антивещества возможно только в том случае, если случайная аннигиляция одной античастицы не приведет к аннигиляции значительной части антивещества [1,2]. В работе [2] в качестве механизма цепной реакции аннигиляции в ловушке, удерживающей твердый водород, рассматривались процессы распыления антиводорода и материала ловушки. Подобным образом будет действовать и эффект отдачи остаточного ядра при аннигиляции \bar{p} (далее для краткости используется термин “эффект отдачи”).

В общем случае часть остаточных ядер, получивших импульс в результате эффекта отдачи (далее они называются “ядрами отдачи”), может быть “поглощена”, т.е. остановлена, в веществе [3]. Рассмотрим ситуацию, когда с внутренней поверхностью ловушки сталкивается молекула ${}^1\bar{\text{H}}_2$, энергия которой E_m составляет величину порядка 10^{-4} эВ или меньше. Такие столкновения будут происходить, в частности, вследствие сублимации твердого антиводорода (см., например, [4]). Покажем, что в данной ситуации имеется заметная вероятность выхода ядра отдачи из материала ловушки.

Согласно работе [5], при столкновении атомов ${}^1\text{H}$ и ${}^1\bar{\text{H}}$ эффективное сечение образования атома $p\bar{p}$ (и одновременно Ps), которое обозначим через σ_{Pn} , уменьшается при увеличении энергии столкновения E_c . При малых E_c это сечение довольно велико: так, $\sigma_{Pn}(E_c = 10^{-3} \text{ эВ}) \approx 450a_B^2$, где a_B — боровский радиус [5]. Исходя из этих результатов, можно предположить, что вероятность захвата антипротонов рассматриваемой молекулы атомами первого монослоя материала ловушки близка к единице. В подобном случае, очевидно, при $\theta < \pi/2$, где θ — угол между внешней (по отношению к веществу) нормалью к поверхности и вектором начального импульса ядра отдачи (см. рисунок), остановка или рассеяние ядра отдачи материалом ловушки просто невозможны.

В работе [6] рассматривается столкновение ${}^1\text{H}-\bar{p}$ при энергии порядка и меньше 10^{-4} эВ. Согласно [6], в этом



Аннигиляция одного из антипротонов молекулы $^1\bar{H}_2$ в материале ловушки.

1 — внутреннее пространство ловушки (вакуум), 2 — материал ловушки, 3 — траектория антипротона в веществе (S_{an} — длина этой траектории), A — точка аннигиляции, p_0 — вектор начального импульса ядра отдачи, n — внешняя нормаль к поверхности.

случае метод расчета, использовавшийся в [5], приводит к завышению вероятности аннигиляции $p-\bar{p}$ в десять и более раз. Для сечения образования протония, которое для столкновения $^1H-\bar{p}$ будем обозначать как σ'_{p_n} , в [6] получено выражение $\sigma'_{p_n} = 0.41\pi a_B/k$, где k — волновой вектор налетающего антипротона. Эта формула позволяет предположить, что даже в том случае, если σ_{p_n} в [5] завышено, при $E_m \lesssim 10^{-4}$ эВ эффективное сечение образования антипротонных атомов σ_{at} составляет, как минимум, величину порядка a_B^2 .

Обозначим расстояние от внутренней поверхности ловушки до точки аннигиляции через l_{an} , а расстояние, проходимое \bar{p} в веществе, — через s_{an} . Очевидно, что $l_{an} \leq S_{an}$ (см. рисунок). Оценим s_{an} как $1/(\sigma_{at}n)$, где n — концентрация атомов. При $\sigma_{at} \sim a_B$ получаем, что $s_{an} \sim 10^{-7}$ см. Так, если $\sigma_{at} = a_B^2$, то для графита, при $n = 1.13 \cdot 10^{23} \text{ см}^{-3}$ (см. [7]), $s_{an} = 32 \text{ \AA}$.

Рассмотрим результаты экспериментов по изучению замедленного деления ^{238}U , вызываемого аннигиляцией \bar{p} [3]. Вероятность выхода ядра отдачи из пленки ^{238}U с поверхностью плотностью $2 \cdot 10^{-4} \text{ г/см}^2$, что соответствует толщине 1070 \AA (см. [7]), составляла приблизительно 50% [3]. Эта величина найдена из сравнения выхода ядер отдачи из пленок толщиной 535 и 1070 \AA [3]. Таким образом, естественно ожидать, что при $l_{an} \sim 10 \text{ \AA}$ и не слишком большом θ вероятность выхода остаточного ядра из вещества близка к единице.

Оценим рассеяние и торможение ионов отдачи, а также их выход из вещества в расчете на одну молекулу $^1\bar{H}_2$, кото-

рый обозначим как Y_{rec} , для аннигиляции \bar{p} в графите. Предположим, что эффект отдачи обусловлен только испарением протонов (см. [8]). Тем самым, по-видимому, значительно занижается характерное значение энергии ядра отдачи E_{rec} , а также вероятность самого эффекта отдачи. Однако это приближение представляет интерес как основанная на экспериментальных результатах оценка минимального значения Y_{rec} .

Обозначим через P_{evap} вероятность испарения p в результате аннигиляции \bar{p} . Для нахождения этой величины по данным, приведенным в [8], применим формулу

$$P_{\text{evap}} = Y / \left(N_{\text{direct}} / N_{\text{evap}} + 1 \right), \quad (1)$$

где Y — выход протонов с энергией 15–200 МэВ в расчете на один аннигилирующий \bar{p} , $N_{\text{direct}} / N_{\text{evap}}$ — отношение числа протонов, испущенных в результате прямого процесса взаимодействия пиона с ядром, к числу испаренных протонов. Подставляя в (1) параметры ^{12}C из [8], получаем: $P_{\text{evap}} \approx 8.8 \cdot 10^{-2}$. Так как $P_{\text{evap}}^2 \ll 1$, будем полагать, что вероятность испарения из одного ядра более чем одного p пренебрежимо мала.

Предположим, что \bar{p} аннигилирует с p , после чего происходит только испарение p с энергией 7 МэВ (см. [8]). Тогда ядро отдачи представляет из себя ^{10}Be , E_{rec} первоначально равна 700 кэВ. При движении в веществе ядро отдачи может захватить электроны [9]. В данной работе, где оценивается наибольшее влияние вещества на движение ядра отдачи, этот процесс не учитывается.

При оценке рассеяния воспользуемся формулой Резерфорда, которую представим в виде

$$d\sigma_{\text{sc}} \approx \left[\frac{(Z_{\text{C}} - 2)Z_{\text{C}}e^2}{E_{\text{rec}}} \right]^2 \frac{\cos \theta_1}{\sin^4 \theta_1} d\Omega, \quad (2)$$

где $d\sigma_{\text{sc}}$ — эффективное сечение рассеяния на угол от θ_1 до $\theta_1 + d\theta_1$, Z_{C} — атомный номер углерода, e — заряд электрона, $d\Omega = 2\pi \sin \theta_1 d\theta_1$ [10]. Подставив в (2) численные значения, получаем, что эффективное сечение рассеяния на большие углы мало по сравнению с a_B^2 , т. к. $[(Z_{\text{C}} - 2)Z_{\text{C}}e^2 / E_{\text{rec}}]^2 = 2.44 \cdot 10^{-23} \text{ см}^2 = 8.71 \cdot 10^{-7} a_B^2$.

При $E_{\text{rec}} = 700$ кэВ скорость ядра ^{10}Be меньше скорости некоторых электронов атома С. Поэтому расчет ионизационных потерь энергии на единицу длины пути по формуле Бете–Блоха приводит к завышенному результату — см.

[^{9,11}]. Однако и этот результат, равный $2.36 \cdot 10^{10}$ эВ/см, при $l_{an} \sim 10^{-7}$ см сравнительно мал.

Таким образом, в рассмотренной модели графит не оказывает существенного влияния на движение ядра отдачи даже при значениях θ , близких к $\pi/2$, поэтому $Y_{rec} \approx 2 \cdot 0.5 \cdot P_{evap} \approx 8.8 \cdot 10^{-2}$. Здесь подразумевается, что оба антипротона аннигилируют на разных ядрах. Возможно, что в рамках более строгой модели $Y_{rec} \approx 1$. Отметим, что рассеяние ядер отдачи на малые углы может привести к их выходу из вещества и при значениях θ , слегка превышающих $\pi/2$. Вероятно, для некоторых веществ при достаточно малой характерной величине l_{an} , т.е. при достаточно малой энергии E_m (см. [^{5,6}]), это вызовет реализацию значений Y_{rec} , слегка превышающих единицу.

По-видимому, воздействие на антиводородный лед, оказываемое аннигиляцией \bar{p} на внутренней поверхности ловушки, будет уменьшено при нанесении на эту поверхность элемента с малой атомной массой (например, Li или Be), полимера или LiH.

После аннигиляции \bar{p} на ядре тяжелого элемента возможно деление остаточного ядра [^{3,8}]. В ряде случаев осколки деления выбиваются с поверхности твердого тела большое количество атомов [¹²]. В рассматриваемой здесь системе это может произойти как с материалом ловушки, так и с антиводородным льдом. Вероятно, содержание примесей тяжелых элементов в материале внутренней поверхности ловушки должно быть как можно меньшим.

Когда атом или ион с многонуклонным ядром сталкивается с антиводородной льдинкой или другой мишенью, содержащей с своем составе несколько антиядер, возникает возможность аннигиляции более чем одного антиядра на группе связанных между собой нуклонов. Такой процесс представляет интерес не только с точки зрения проблемы безопасности хранения антивещества, но и в качестве метода создания высоковозбужденного остаточного ядра, в частности, как попытка достижения его мультифрагментации. Для этих целей целесообразно использовать мишень, содержащую антидейтроны и даже более тяжелые античастицы.

Вопрос о том, при каком количестве антиядер в мишени вероятность аннигиляции N антиядер ($N \geq 2$) на группе связанных нуклонов, которую обозначим через P_N , будет достаточно велика для экспериментальной регистрации этого процесса, в настоящее время неясен. Так, предположим, что атом или положительный ион сталкивается с молекулой $^1\bar{H}_2$ или ионом $^1\bar{H}_2^-$. Обозначим через $\sigma_{2\bar{p}}$ эффективное сечение формирования антипротонного атома с двумя

антинпротонами. Рассмотрим вкратце самый простой случай, когда перед столкновением обе частицы находятся в основных состояниях и хотя бы одна из них нейтральна. Исходя из результатов [5,6], можно ожидать, что при энергии столкновения $E'_c \lesssim 10^{-4}$ эВ достижимы значения $\sigma_{2\bar{p}} \gtrsim a_B^2$. Первоначально, однако, оба антинпротона будут находиться в состояниях с большими главными квантовыми числами n_1 и n_2 , аннигиляция произойдет только после уменьшения этих чисел [5,6,8,13]. Как отметил Й.Хартманн, одним из каналов уменьшения $n_{1(2)}$ является Оже-переход, сопровождающийся потерей связи второго \bar{p} с ядром. Эффект отдачи при первой аннигиляции \bar{p} может привести к такому же результату, что отметил Я.И.Азимов. Возможно, тем не менее, что для некоторых элементов вероятность P_2 будет "наблюдаемо" велика. Так, увеличение числа электронов приведет, по-видимому, к увеличению роли Оже-процессов уменьшения $N_{1,2}$, сопровождающихся удалением электрона; при возрастании массы начального ядра уменьшается характерная скорость ядра отдачи, образующегося после аннигиляции одного \bar{p} — см. [13]. Увеличение количества электронов на внешней электронной оболочке может привести и к увеличению $\sigma_{2\bar{p}}$.

Автор благодарит Я.И.Азимова и Й.Хартманна за полезное обсуждение рассматриваемых в статье вопросов.

Список литературы

- [1] Zito R.R. // JBIS. 1983. V. 36. N 7. P. 308–310.
- [2] Шматов М.Л. // Письма в ЖТФ. 1993. Т. 19. В. 18. С. 31–35.
- [3] Armstrong T.A., Bocquet J.P., Ericsson G. et al. // Phys. Rev. C. 1993. V. 47. N 5. P. 1957–1969.
- [4] Cassenti B.N. // JBIS. 1984. V. 37. P. 483–490.
- [5] Kolos W., Morgan D.L., Schrader D.M., Wolniewicz L. // Phys. Rev. A. 1975. V. 11. N 6. P. 1792–1796.
- [6] Воронин А.Ю. // ЖЭТФ. 1992. Т. 102. В. 3 (9). С. 760–773.
- [7] Гольдин Л.Л., Игошин Ф.Ф., Козел С.М. и др. Лабораторные занятия по физике: Учебное пособие. Под ред. Л.Л. Гольдина. М.: Наука, 1983. 704 с.
- [8] Hoffmann P., Hartmann F.J., Daniel H. et al. // Nucl. Phys. A. 1990. V. 512. N 4. P. 669–683.
- [9] Сивухин Д.В. Общий курс физики. Т. 5. Ч. 2. М.: Наука, 1989. 416 с.
- [10] Ландау Л.Д., Либшиц Е.М. Теоретическая физика. Т. 1. Механика. 4-е изд. М.: Наука, 1988. 216 с.

- [11] Фраунфельдер Г., Хенли Э. // Субатомная физика. М.: Мир, 1979. 736 с.
- [12] Баранов И.А., Кривохатский А.С., Обнорский В.В. // ЖТФ. 1981. Т. 51. В. 12. С. 2457–2475.
- [13] Iljinov A.S., Nazaruk V.I., Chigrinov S.E. // Nucl. Phys. A. 1982. V. 382. N 3. P. 378–400.

Физико-технический институт
им. А.Ф.Иоффе
Санкт-Петербург

Поступило в Редакцию
11 марта 1994 г.
